

УДК 577.151

## МЕХАНИЗМ ИНГИБИРОВАНИЯ D-ЦИКЛОСЕРИНОМ ТРАНСАМИНАЗЫ D-АМИНОКИСЛОТ ИЗ *Haliscomenobacter hydrossis*

© 2023 А.К. Бакунова<sup>1\*</sup>, И.О. Матюта<sup>1</sup>, А.Ю. Николаева<sup>1,2</sup>,  
К.М. Бойко<sup>1</sup>, В.О. Попов<sup>1,3</sup>, Е.Ю. Безсуднова<sup>1\*</sup>

<sup>1</sup> Федеральный исследовательский центр «Фундаментальные основы биотехнологии» РАН,  
Институт биохимии имени А.Н. Баха, 119071 Москва, Россия;  
электронная почта: a.bakunova@fbras.ru, eubez@inbi.ras.ru

<sup>2</sup> Национальный исследовательский центр «Курчатовский институт», 123182, Москва, Россия

<sup>3</sup> Московский государственный университет имени М.В. Ломоносова,  
биологический факультет, 119991 Москва, Россия

Поступила в редакцию 26.08.2022

После доработки 10.02.2023

Принята к публикации 11.02.2023

D-Циклосерин ингибитирует пиридоксаль-5'-фосфат (PLP)-зависимые ферменты с различной эффективностью в зависимости от организации активного центра фермента и механизма катализируемого превращения. D-Циклосерин взаимодействует с PLP-формой фермента подобно субстратам (аминокислотам) и преимущественно обратимо. Известно несколько продуктов взаимодействия PLP с D-циклосерином, при этом для некоторых ферментов образование стабильного ароматического гидроксизоксазол-пиридоксамина-5'-фосфата при определённых значениях pH приводит к необратимому ингибираванию. Цель данной работы состояла в определении механизма ингибиравания D-циклосерином PLP-зависимой трансаминазы D-аминокислот из бактерии *Haliscomenobacter hydrossis*, которая характеризуется иной, чем у канонических трансаминаз D-аминокислот, организацией активного центра. Спектральными методами обнаружено несколько продуктов взаимодействия D-циклосерина и PLP в активном центре трансаминазы: оксим, образованный PLP и β-аминоокси-D-аланином; кетимин, образованный пиридоксамин-5'-фосфатом и D-циклосерином в циклической форме; и пиридоксамин-5'-фосфат. Образование гидроксизоксазол-пиридоксамина-5'-фосфата не установлено. Методом рентгеноструктурного анализа получена пространственная структура комплекса трансаминазы с D-циклосерином. В активном центре трансаминазы обнаружен кетимин, образованный пиридоксамин-5'-фосфатом и циклической формой D-циклосерина. Кетимин находится в двух положениях, в которых он образует водородные связи с разными остатками активного центра. Кинетическими и спектральными методами показаны обратимость ингибиравания D-циклосерином трансаминазы из *H. hydrossis* и восстановление активности фермента как избытком кетосубстрата, так и избытком кофактора. Полученные результаты подтверждают взаимопревращение аддуктов D-циклосерина и PLP, а также обратимость ингибиравания D-циклосерином PLP-зависимых трансаминаз.

**КЛЮЧЕВЫЕ СЛОВА:** трансаминаза D-аминокислот, D-циклосерин, обратимое ингибиравание, флуоресценция, рентгеноструктурный анализ.

DOI: 10.31857/S0320972523050111, EDN: AYYWPB

### ВВЕДЕНИЕ

D-Циклосерин, циклический аналог D-серина, известен как ингибитор пиридоксаль-5'-фосфат (PLP)-зависимых ферментов, включая трансаминазы, декарбоксилазы и рацемазы [1–5]. D-Циклосерин относится к антибиотикам широкого спектра действия, например, D-цикло-

серин применяется в терапии туберкулёза, как ингибитор PLP-зависимой аланинрациемазы у бактерии *Mycobacterium tuberculosis* (UniProt код: P9WQA9) [6]. Подобно субстратам (аминокислотам), D-циклосерин вступает в реакцию с кофактором PLP в активном центре фермента и образует внешний альдимин по механизму нуклеофильного замещения у C4'-атома PLP,

Принятые сокращения: PLP – пиридоксаль-5'-фосфат; РМР – пиридоксамин-5'-фосфат; ТА\_Halhy – трансаминаза D-аминокислот из бактерии *Haliscomenobacter hydrossis*.

\* Адресат для корреспонденции.

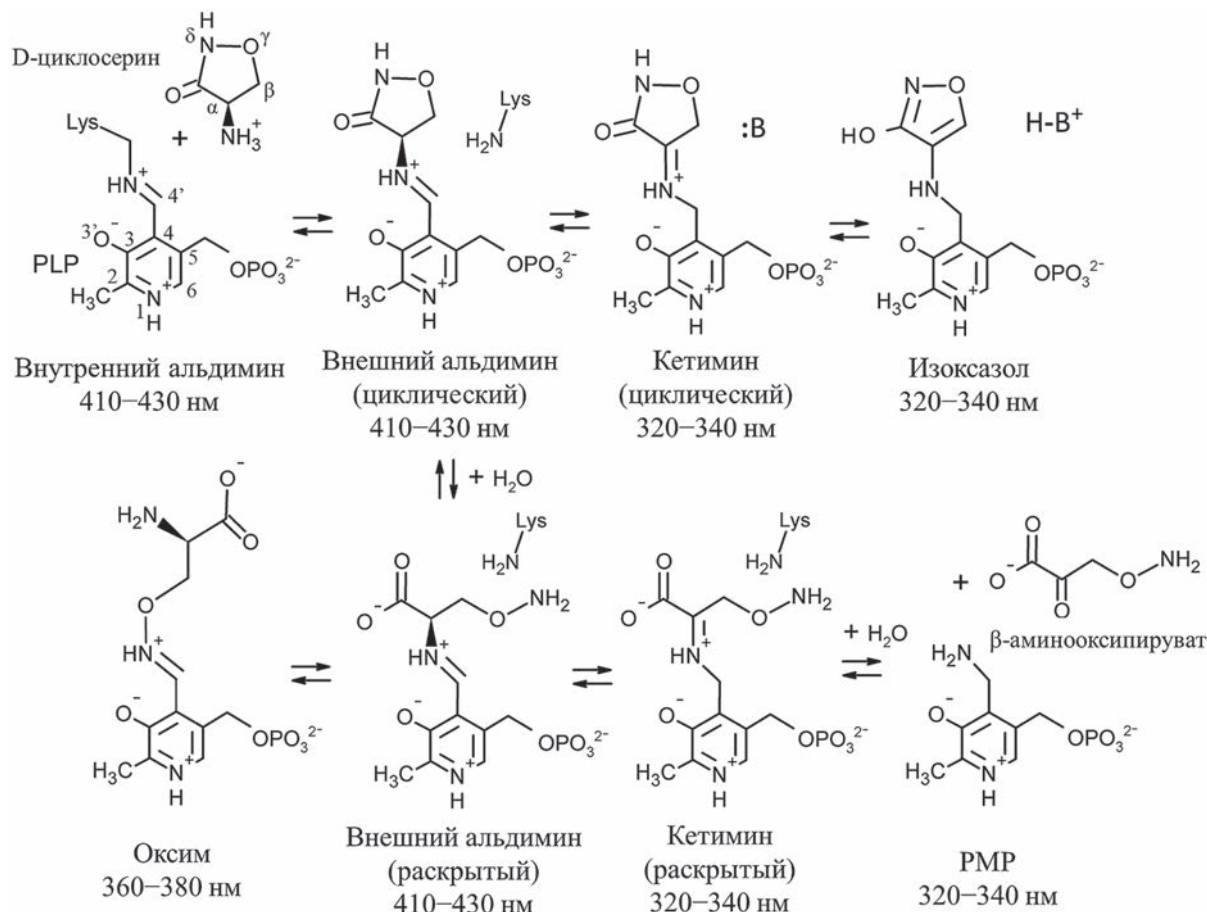


Схема превращения D-циклосерина в активном центре PLP-зависимых ферментов с указанием максимумов поглощения образующихся соединений

далее протекает стереоселективный 1,3-перенос протона при содействии аминогруппы катализического остатка лизина с образованием кетимина — аддукта пиридоксамин-5'-фосфата (PMP) и кетопроизводного D-циклосерина (схема). Кетимин далее превращается в стабильное ароматическое соединение — аддукт гидроксизоксазола и PMP (изоксазол) — путём отщепления протона от C $\beta$ -атома [1–3]. Ранее этот путь превращения считался необратимым [1–3], однако недавно методами ЯМР и флуоресцентной спектроскопии установлено, что и в растворе, и в активном центре аланин-рациемаз изоксазол со временем превращается в оксим, образованный PLP-формой кофактора и  $\beta$ -аминоокси-D-аланином [7]. Образование оксима происходит в результате внутримолекулярной перегруппировки, которой предшествует гидролиз D-циклосерина до  $\beta$ -аминоокси-D-аланина (раскрытая форма D-циклосерина). Кроме того, при изучении ингибиции аланин-глиоксалат-трансаминазы человека (Uniprot код: P21549) D-циклосерином обнаружен третий путь превращения D-циклосерина в активном центре фермента через образование раскрытоого кетимина, аддукта PMP-формы ко-

фактора и  $\beta$ -аминооксиપירувата, с последующим его разложением и накоплением PMP в активном центре трансаминазы [4]. На сегодня проведённые исследования позволяют представить взаимодействие D-циклосерина и PLP в активном центре фермента в виде схемы, где все стадии обратимы и образующиеся соединения переходят друг в друга.

В кристаллографических исследованиях комплексов PLP-зависимых ферментов с D-циклосерином описаны разнообразные продукты ингибирования: изоксазол; внешний альдимин, образованный PLP-формой кофактора и циклической формой D-циклосерина (циклический альдимин); кетимин, образованный PMP-формой кофактора и циклической формой кетопроизводного D-циклосерина (циклический кетимин) и PMP. В большинстве депонированных структур встречается изоксазол (PDB коды: 5U3F, 3E6E, 1VFS, 1EPV, 2DAA) [1–3, 8, 9] или циклический альдимин (PDB коды: 2RJH, 1I2L, 1D7S, 5FAJ, 3TCM, 4D9F) [5, 10–13].

Среди PLP-зависимых трансаминаз ингибирование D-циклосерином детально изучено для трансаминазы разветвлённых L-аминокис-

лот из *M. tuberculosis* (UniProt код: P9WQ75) [3], для трансаминазы D-аминокислот из *Bacillus* sp. (Uniprot код: P19938) [1] и для аланин-глиоксилат-трансаминазы человека [4]. Ферментативное трансаминирование протекает по механизму последовательного двойного замещения, в реакции участвуют два субстрата (аминокислота/амин и кетокислота/кетон), полная реакция трансаминирования является суммой двух полуреакций. В первой полуреакции аминокислота/амин (субстрат аминодонор) реагирует с PLP в активном центре фермента, превращаясь в кетокислоту/кетон, при этом кофактор переходит в PMP-форму. Во второй полуреакции другая кетокислота/кетон (субстрат аминоакцептор) превращается в новую аминокислоту/амин, исходная PLP-форма кофактора регенерируется [14–16]. С трансаминазами D-циклосерин вступает в первую полуреакцию (схема), продуктами которой могут быть изоксазол и циклический кетимин, а в результате гидролиза D-циклосерина накапливаются оксим, раскрытий кетимин и PMP [1, 3, 4]. Для ряда ферментов эффективность ингибиции D-циклосерином растёт со временем, что объясняется сходством механизмов взаимодействия ингибитора и субстрата аминокислоты с ферментом (первая полуреакция). Если наблюдаемая константа скорости полуреакции между ферментом и D-циклосерином значительно меньше наблюдаемой константы скорости полуреакции фермента со специфическим субстратом, то наибольшая степень ингибиции достигается через некоторое время [2–4].

Для трансаминауз описаны как обратимое, так и необратимое ингибиование D-циклосерином. Например, активность трансаминазы из *M. tuberculosis* и *Bacillus* sp. необратимо ингибируется D-циклосерином при pH 8,0–8,5 [3, 17]. Однако активность трансаминазы из *Bacillus* sp. восстанавливается при pH 6,5–7,5 в результате добавления PLP к ферменту [17]. О восстановлении активности трансаминазы из *M. tuberculosis* сведений нет. Основным продуктом взаимодействия этих трансаминауз с D-циклосерином является изоксазол, образование которого подтверждено рентгеноструктурным анализом комплексов ферментов с ингибитором [1, 3]. Для аланин-глиоксилат-трансаминазы человека ингибиование D-циклосерином является обратимым, образование изоксазола не зафиксировано [4]. Спектральными методами показано образование оксима; рентгеноструктурным анализом в активном центре комплекса фермента с D-циклосерином обнаружена PMP-форма кофактора. Кро-

ме того, для аланинглиоксилаттрансаминазы человека наблюдается восстановление активности избыtkом субстрата [4]. Перечисленные трансаминазы различаются укладкой PLP-связывающего домена и составом функциональных групп в активном центре.

Настоящая работа является продолжением исследований взаимодействия D-циклосерина с PLP-зависимыми трансаминазами. Объектом исследования является трансаминаза D-аминокислот (EC 2.6.1.21) из бактерии *Haliscomenobacter hydrossis* (TA\_Halhy; UniProt код: F4KWH0) [18]. TA\_Halhy активна в реакции трансаминирования с разнообразными кетокислотами, наилучшим субстратом среди аминокислот (субстратом аминодонором) является D-глутаминовая кислота. Функциональной единицей TA\_Halhy является гомодимер, содержащий два симметричных активных центра. Как и во всех трансаминазах, активный центр TA\_Halhy формируется остатками обеих субъединиц и молекулой PLP, ковалентно связанный с боковой группой остатка лизина (внутренний альдимин). От известных канонических трансаминауз D-аминокислот, включая трансаминазу D-аминокислот из *Bacillus* sp., TA\_Halhy отличается составом функциональных групп в активном центре. Так, в активном центре канонических трансаминауз D-аминокислот существует триада остатков аргинина, тирозина и гистидина, боковые группы которых сближены в пространстве и образуют сайт связывания α-карбоксильной группы субстрата. В активном центре TA\_Halhy нет канонической триады, но имеются четыре положительно заряженных остатка — три остатка аргинина и один остаток лизина, которые, по-видимому, взаимодействуют с α-карбоксильной группой субстрата [18].

Цель данной работы состояла в определении механизма ингибиции TA\_Halhy D-циклосерином. Детальное исследование взаимодействия D-циклосерина с TA\_Halhy проводили спектральными и кинетическими методами. Методом рентгеноструктурного анализа установлена пространственная структура комплекса TA\_Halhy с D-циклосерином с разрешением 1,4 Å и определены остатки, координирующие молекулу ингибитора в активном центре фермента. Проведённые исследования позволили изучить механизм ингибиции TA\_Halhy D-циклосерином, в том числе установить обратимость ингибиции TA\_Halhy D-циклосерином, определить основные продукты взаимодействия TA\_Halhy с D-циклосерином и предложить способы восстановления активности ингибиованного фермента.

## МАТЕРИАЛЫ И МЕТОДЫ

**Получение рекомбинантной TA\_Halhy.** Наработку и очистку TA\_Halhy проводили, как описано ранее [18]. Рекомбинантную TA\_Halhy выделяли из биомассы штамма-продуцента *Escherichia coli* BL21(DE3)pLys («Stratagene», США), несущего экспрессионный вектор pET\_21d\_Halhy\_2446. Рекомбинантную TA\_Halhy, содержащую 6-His-фрагмент на C-конце, отделяли с помощью металл-хелатной аффинной хроматографии на колонке HisTrap HP («Cytiva», США). Далее 6-His-фрагмент отщепляли TEV-протеазой, TA\_Halhy отделяли от TEV-протеазы и продуктов протеолиза с помощью повторной металл-хелатной аффинной хроматографии. В заключение проводили гель-фильтрацию в 20 мМ HEPES/NaOH буфере (pH 7,5) с добавлением 150 мМ NaCl, 100 мкМ PLP и 1 мМ дитиотреитола. Очищенную TA\_Halhy хранили в 50%-ном глицерине при -20 °С. Чистоту и гомогенность препарата контролировали ДДС-ПААГ-электрофорезом. Концентрацию белка определяли спектрофотометрически по поглощению при 280 нм.

PLP-форму TA\_Halhy получали инкубированием фермента в концентрации 2,5 мг/мл (74 мкМ) с избытком PLP (700 мкМ) в присутствии 10 мМ α-кетоглутарата в течение 30 мин при 40 °С. Кетосубстрат и несвязавшийся PLP удаляли переводом в другой буфер, используя колонку HiTrap Desalting («Cytiva»), уравновешенную 50 мМ K-фосфатным буфером (pH 8,0).

**Кинетический анализ.** Для анализа ингибирования TA\_Halhy D-циклосерином были получены полные кинетические кривые реакции трансаминирования между D-аланином и α-кетоглутаратом в присутствии разных концентраций D-циклосерина (3–50 мкМ) без предварительного инкубирования TA\_Halhy с ингибитором. Накопление продукта реакции – пирувата – определяли по убыли NADH в сопряжённой ферментативной реакции с лактатдегидрогеназой из мышцы кролика (LDH) («Sigma», США). Расходование NADH определяли спектрофотометрически при 340 нм ( $\epsilon = 6,22 \text{ мМ}^{-1} \cdot \text{см}^{-1}$ ) с использованием спектрофотометра Evolution 300 UV-Vis («Thermo Scientific», США). Реакцию трансаминирования, катализируемую TA\_Halhy, проводили в 50 мМ K-фосфатном буфере (pH 8,0) при 40 °С с субстратами D-аланином (5 мМ) и α-кетоглутаратом (2 мМ) с добавлением 30 мкМ PLP, 0,33 мМ NADH, 5 мкг/мл LDH (удельная активность препарата составляет 200 мкмоль/мин на 1 мг белка). В условиях трансаминазной реакции препарат LDH был стабилен. Тем-

пературной инактивации TA\_Halhy при 40 °С не наблюдалось [18]. Реакцию инициировали добавлением α-кетоглутарата после инкубирования реакционной смеси с TA\_Halhy в концентрации 0,35 мкг/мл (10 нМ) в течение 15 мин. D-Циклосерин к реакционной смеси добавляли вместе с α-кетоглутаратом.

Кинетические кривые аппроксимировали интегральным уравнением для медленно связывающегося ингибитора (1) [19]:

$$A_t = A_0 - v' \times t - \frac{v_0 - v'}{k_{\text{инг}}} \times (1 - \exp(-k_{\text{инг}} \times t)), \quad (1)$$

где  $A_t$  – значение поглощения в момент времени  $t$ ;  $A_0$  – значение поглощения в начальный момент времени;  $v'$  – скорость ферментативной реакции после установления равновесия между ферментом и ингибитором;  $v_0$  – начальная скорость ферментативной реакции;  $k_{\text{инг}}$  – наблюдаемая константа скорости ингибирования.

Параметры ингибирования рассчитывали по уравнению (2) [19]:

$$k_{\text{инг}} = k_{\text{дисс}} \times (1 + \frac{[I]}{K_1^{\text{как}}}), \quad (2)$$

где  $k_{\text{дисс}}$  – константа скорости диссоциации комплекса фермент–ингибитор,  $[I]$  – концентрация ингибитора,  $K_1^{\text{как}} = k_{\text{дисс}}/k_{\text{acc}}$  – константа диссоциации комплекса фермент–ингибитор при заданной концентрации субстрата,  $k_{\text{acc}}$  – константа скорости ассоциации фермента с ингибитором. Каждое измерение проводили в трёх повторностях.

**Спектральный анализ.** Эксперименты проводили в 50 мМ K-фосфатном буфере (pH 8,0) при 40 °С. К PLP-форме TA\_Halhy в концентрации 0,85 мг/мл (25 мкМ) добавляли D-циклосерин в концентрации 25 мМ и выдерживали смесь в течение 30 мин. Белковую фракцию отделяли от низкомолекулярных компонентов, используя колонку HiTrap Desalting. Кроме того, фракцию низкомолекулярных компонентов получали ультрафильтрацией с использованием центрифужного концентратора (30 кДа MWCO; «Millipore», США). Спектры поглощения фракций регистрировали с помощью спектрофотометра Evolution 300 UV-Vis, концентрация белка не превышала 0,85 мг/мл (25 мкМ). Спектры флуоресценции фракций регистрировали в диапазоне 345–600 нм при длинах волн возбуждения 337 и 380 нм с помощью спектрофлуориметра FluoroMax-4 («Horiba Scientific», Япония), концентрация белка не превышала 0,17 мг/мл (5 мкМ). За накоплением свободного PMP в растворе при разложении продуктов взаимодействия TA\_Halhy с D-циклосерином следили по убыли

Параметры съёмки и данные кристаллографического уточнения структуры комплекса TA\_Halhy с D-циклосерином

Параметры съёмки	
Пространственная группа	C2
<i>a</i> ; <i>b</i> ; <i>c</i> , Å	86,9; 71,94; 53,09
$\alpha$ ; $\beta$ ; $\gamma$ , град	90,00; 101,47; 90,00
<i>T</i> , К	100
$\lambda$ , Å	0,9
Разрешение, Å	42,52–1,41 (1,43–1,41)
Число независимых рефлексов	61 465 (3027)
Полнота набора, %	99,7 (99,9)
<i>I</i> / $\sigma$ ( <i>I</i> )	6,5 (0,6)
<i>R</i> <sub>meas</sub> , %	8,6 (4,7)
<i>CC</i> <sub>1/2</sub> , %	99,8 (94,6)
Уточнение	
<i>R</i> <sub>fact</sub> , %	17,2
<i>R</i> <sub>free</sub> , %	20,3
Общий средний <i>B</i> -фактор	23,9
Средний <i>B</i> -фактор по белку	22,8
Средний <i>B</i> -фактор по растворителю	32,8
Средний <i>B</i> -фактор по D-циклосерину	25,3
Число неводородных атомов	
Белок	2306
Растворитель	267
D-циклосерин	29
Всего	2608
Среднеквадратичные отклонения	
Длины связей, Å	0,016
Валентные углы, град	2,006
График Рамачандрана	
Наиболее благоприятные, %	97,9
Допустимые, %	2,1
Код PDB	8AHU

Примечание. В скобках приведены значения для последнего слова.

поглощения при 337 нм. За регенерацией PLP-формы TA\_Halhy при добавлении  $\alpha$ -кетоглутата следили по росту поглощения при 416 нм. Для расчёта наблюдаемых констант скоростей *k*<sub>набл</sub> указанных процессов экспериментальные значения аппроксимировали уравнением кинетики первого порядка (3):

$$A_t = A_\infty + (A_0 - A_\infty) \times \exp(-k_{\text{набл}} \times t), \quad (3)$$

где *A*<sub>t</sub> – значение поглощения в момент времени *t*, *A*<sub>∞</sub> – предельное значение поглощения, *A*<sub>0</sub> – значение поглощения в начальный момент времени. Каждое измерение проводили в трёх повторностях.

**Получение кристаллов комплекса TA\_Halhy с D-циклосерином.** Кристаллы комплекса TA\_Halhy с D-циклосерином получали настаиванием. Для этого кристалл PLP-формы TA\_Halhy, полученный как описано ранее [18], вылавливали петлёй и помещали в раствор, содержащий, помимо компонентов противораствора (0,1 М Na-ацетатного буфера (рН 4,8), 20% (v/v) PEG 3350), D-циклосерин в концентрации 10 мМ, до частичного обесцвечивания кристалла (около 10 с).

**Сбор и обработка дифракционных данных.** Непосредственно перед рентгеноструктурным экспериментом кристаллы TA\_Halhy помещали в криораствор, содержащий, помимо компонентов противораствора, 25% (v/v) глицерина и D-циклосерин в концентрации 10 мМ, после чего кристалл в петле замораживали в парах азота. Дифракционные данные, собранные при температуре −173 °C на станции BL41XU синхротронного источника Spring8 (Япония), обрабатывали с использованием программы Dials [20] из пакета CCP4 [21]. Статистика собранного набора данных приведена в таблице.

**Решение и уточнение структуры.** Решение структуры проведено методом молекулярного замещения при помощи программы MOLREP [22]. В качестве стартовой модели использовали структуру холоформы трансаминазы D-аминокислот из *H. hydrossis* (PDB код: 7P7X). Кристаллографическое уточнение структуры проведено с использованием программ Refmac5 [23] и Coot [24] с использованием изотропных тепловых факторов и атомов водорода в фиксированных положениях до достижения *R*-факторами значений: *R*<sub>work</sub> = 17,2%, *R*<sub>free</sub> = 20,3% (таблица). В независимой части кристалла комплекса TA\_Halhy с D-циклосерином находится субъединица белка (283 видимых остатка), 267 молекул воды, одна молекула PLP в комплексе с D-циклосерином

в двух положениях, а также одна молекула глицерина из криораствора. Визуальный анализ структурных данных проводили с использованием программ Coot и PyMOL Molecular Graphics System, Version 4.6 («Schrödinger», USA). Сравнение структур проводили с использованием сервиса PDBeFOLD [25].

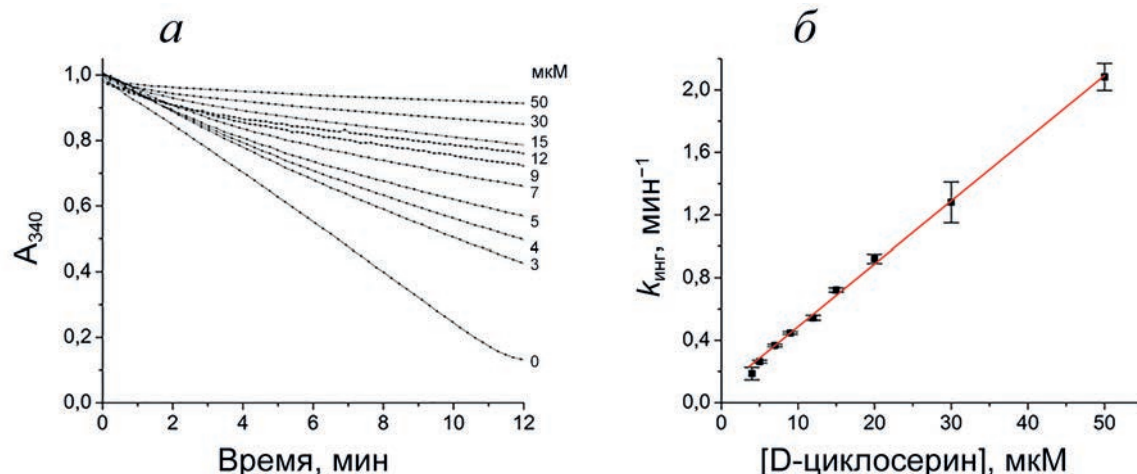
## РЕЗУЛЬТАТЫ ИССЛЕДОВАНИЯ

### Ингибиование TA\_Halhy D-циклосерином.

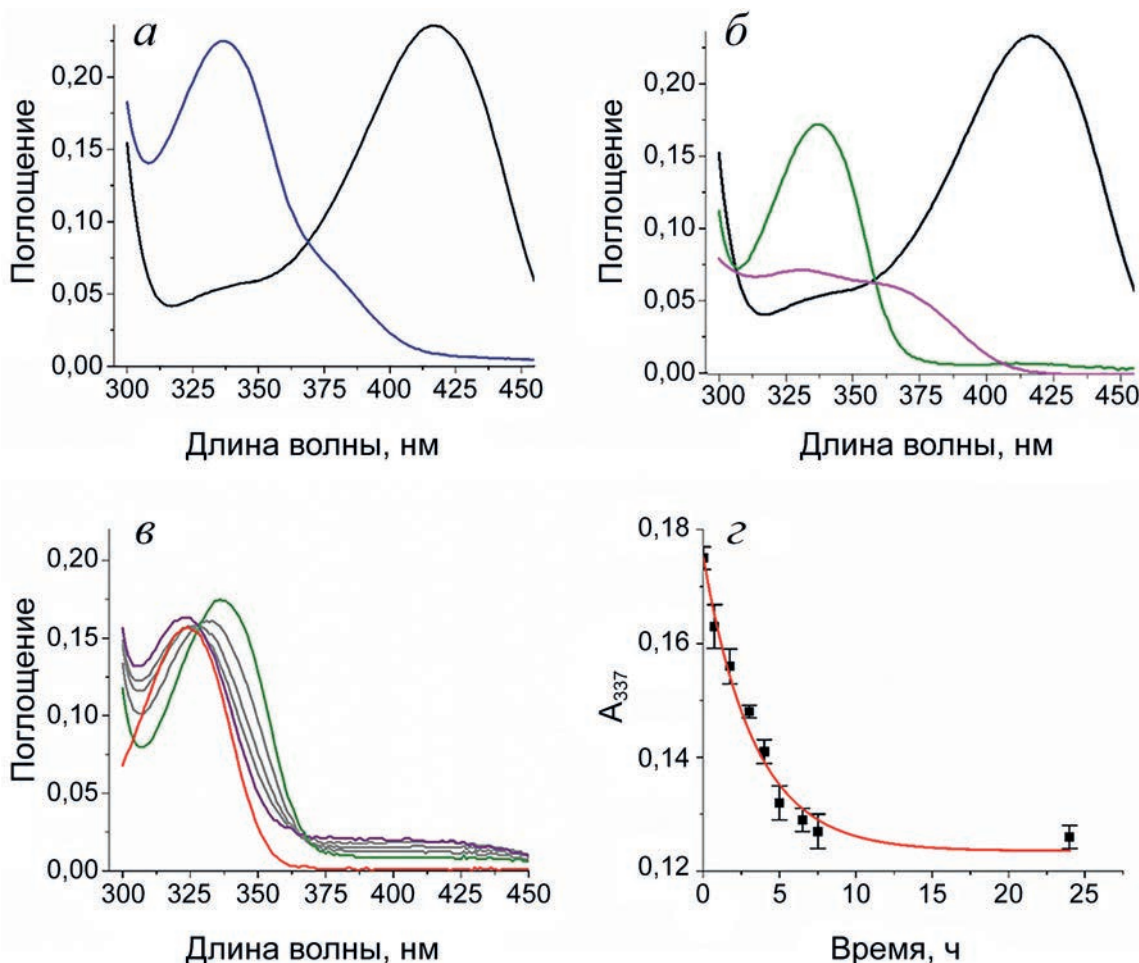
Вид полных кинетических кривых реакции трансаминирования, катализируемой TA\_Halhy, при разных концентрациях D-циклосерина соответствовал росту эффективности ингибиции TA\_Halhy D-циклосерином со временем (рис. 1, *a*). Рассчитанные из кинетических кривых значения  $v_0$  не зависели от концентрации D-циклосерина, при этом константы скорости ингибиции линейно зависели от концентрации ингибитора (рис. 1, *б*), что соответствовало одностадийному механизму образования комплекса фермента с ингибитором:  $E + I \leftrightarrow E - I$  [19]. Константа скорости ассоциации фермента с ингибитором ( $k_{\text{асс}}$ ) составила  $0,040 \pm 0,001 \text{ мин}^{-1} \cdot \text{мкМ}^{-1}$ , константа скорости диссоциации ( $k_{\text{дис}}$ ) –  $0,086 \pm 0,014 \text{ мин}^{-1}$ , кажущаяся константа диссоциации комплекса фермент–ингибитор ( $K_1^{\text{каж}}$ ) –  $2,1 \pm 0,4 \text{ мкМ}$ . Проведённый кинетический анализ позволил количественно охарактеризовать процессы образования и диссоциации комплекса фермента с ингибитором, дальнейшие превращения D-циклосерина в активном центре TA\_Halhy были проанализированы спектраль-

ными методами и рентгеноструктурным анализом.

**Спектральный анализ продуктов взаимодействия TA\_Halhy с D-циклосерином.** PLP-форма Halhy имеет максимумы поглощения при 280 нм и 416 нм (рис. 2, *а*), что соответствует внутреннему альдимину TA\_Halhy. Выдерживание 25 мкМ PLP-формы TA\_Halhy в 50 мМ К-фосфатном буфере (рН 8,0), содержащем 25 мМ D-циклосерина, в течение 30 мин при 40 °C приводило к снижению поглощения при 416 нм и росту поглощения при 337 нм. Конечный спектр имел максимумы поглощения при 280 нм и 337 нм с плечом при 380 нм (рис. 2, *а*). Максимум при 337 нм указывал на образование аддуктов кофактора и D-циклосерина с sp<sup>3</sup>-гибридизацией C4'-атома кофактора, а именно: циклического кетимина, раскрытоого кетимина, изоксазола и PMP [26, 27]. Плечо при 380 нм указывало на присутствие среди продуктов оксима [28]. После перевода в другой буфер спектр продуктов взаимодействия TA\_Halhy с D-циклосерином имел максимумы при 280 нм и 337 нм, плеча при 380 нм не наблюдалось, т.е. оксим в препарате фермента отсутствовал (рис. 2, *б*). Спектр низкомолекулярной фракции указывал на частичный выход в раствор продуктов взаимодействия кофактора и D-циклосерина, в том числе PMP и оксима (рис. 2, *б*). Дальнейшее выдерживание препарата после смены буфера (рис. 2, *в*) привело к сдвигу максимума поглощения с 337 нм на 324 нм, что соответствовало разложению продуктов взаимодействия до β-аминооксирипруата и PMP и их высвобождению из активного центра (спектр погло-



**Рис. 1.** Ингибиование D-циклосерином активности TA\_Halhy в реакции трансаминирования между D-аланином (5 мМ) и α-кетоглутаратом (2 мМ) при 40 °C: *а* – кинетические кривые реакции, полученные при разных концентрациях добавленного D-циклосерина (указаны справа); *б* – зависимость наблюдаемой константы скорости ингибиции от концентрации D-циклосерина: экспериментальные значения показаны точками и представлены как среднее ± стандартное отклонение, линейная аппроксимация показана красной линией

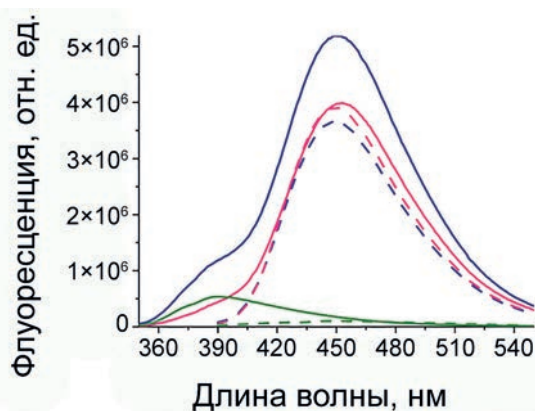


**Рис. 2.** Взаимодействие PLP-формы TA\_Halhy (25 мкМ) с D-циклосерином в концентрации 25 мМ при 40 °С: *а* – спектр поглощения PLP-формы TA\_Halhy до (чёрный) и после 30 мин инкубирования с D-циклосерином (синий); *б* – спектр поглощения PLP-формы TA\_Halhy до (чёрный) и после 30 мин инкубирования с D-циклосерином с последующим переводом в новый буфер (зелёный), спектр поглощения низкомолекулярной фракции (розовый); *в* – изменения в спектре поглощения продуктов взаимодействия PLP-формы TA\_Halhy с D-циклосерином после 30 мин инкубирования: сразу после смены буфера (зелёный), через 2, 4, 6 ч (серый) и через 24 ч (фиолетовый), спектр поглощения свободного PMP в концентрации 25 мКМ (красный); *г* – зависимость поглощения при 337 нм от времени (из спектров на рис. 2, *в*): экспериментальные значения показаны точками и представлены как среднее ± стандартное отклонение, аппроксимация показана красной линией

шения PMP, связанного в активном центре TA\_Halhy, имеет максимум при 337 нм, спектр поглощения свободного PMP в К-фосфатном буфере (pH 8,0) имеет максимум при 324 нм (рис. 2, *в*)). Наблюдаемая константа скорости накопления свободного PMP составила  $0,37 \pm 0,07 \text{ ч}^{-1}$  (рис. 2, *г*). Таким образом, в результате проведённого спектрального анализа установлено взаимодействие D-циклосерина с кофактором PLP в активном центре TA\_Halhy, определены продукты взаимодействия, их постепенное разложение и, как следствие, накопление в растворе свободного PMP и апоформы TA\_Halhy.

Анализ продуктов взаимодействия TA\_Halhy с D-циклосерином провели методом флуоресцентной спектроскопии. Спектр флуоресценции продуктов взаимодействия при воз-

буждении на 337 нм имел максимумы при 390 и 450 нм, при возбуждении на 380 нм – имел максимум при 450 нм (рис. 3), что соответствовало оксими [26]. Максимум при 390 нм принято относить к аддуктам PLP с низкомолекулярными соединениями с sp<sup>3</sup>-гибридизацией C4'-атома PLP (циклический кетимин, раскрытый кетимин, изоксазол и PMP; схема) [26, 27]. Спектры флуоресценции продуктов взаимодействия после смены буфера при возбуждении на 337 нм имел один максимум при 390 нм. Спектры флуоресценции низкомолекулярной фракции при возбуждении на 337 нм и 380 нм соответствовали нескольким продуктам: оксими, характеризующемуся максимумом флуоресценции при 450 нм [26], и аддуктам с sp<sup>3</sup>-гибридизацией C4'-атома, характеризующимся максимумом флуоресценции



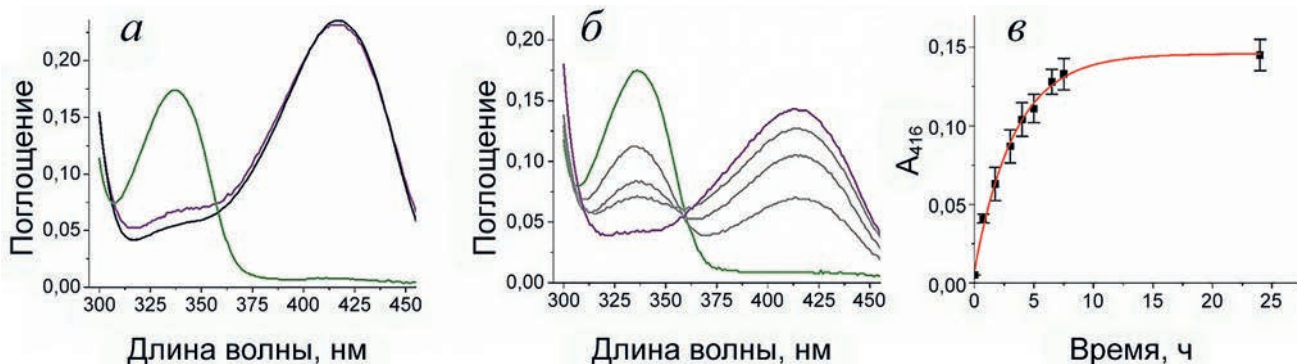
**Рис. 3.** Спектры флуоресценции продуктов взаимодействия TA\_Halhy с D-циклосерином до (синий) и после смены буфера (зелёный), спектр флуоресценции низкомолекулярной фракции (розовый) при длинах волн возбуждения 337 нм (сплошная линия) и 380 нм (пунктирная линия)

при 390 нм [26, 27] (рис. 3). Таким образом, проведённый анализ подтвердил наличие среди продуктов взаимодействия TA\_Halhy с D-циклосерином оксима и аддуктов с sp<sup>3</sup>-гибридизацией C4'-атома, причём оксим полностью высвобождается из активного центра фермента в растворе, а соединения с sp<sup>3</sup>-гибридизацией C4'-атома кофактора высвобождаются частично.

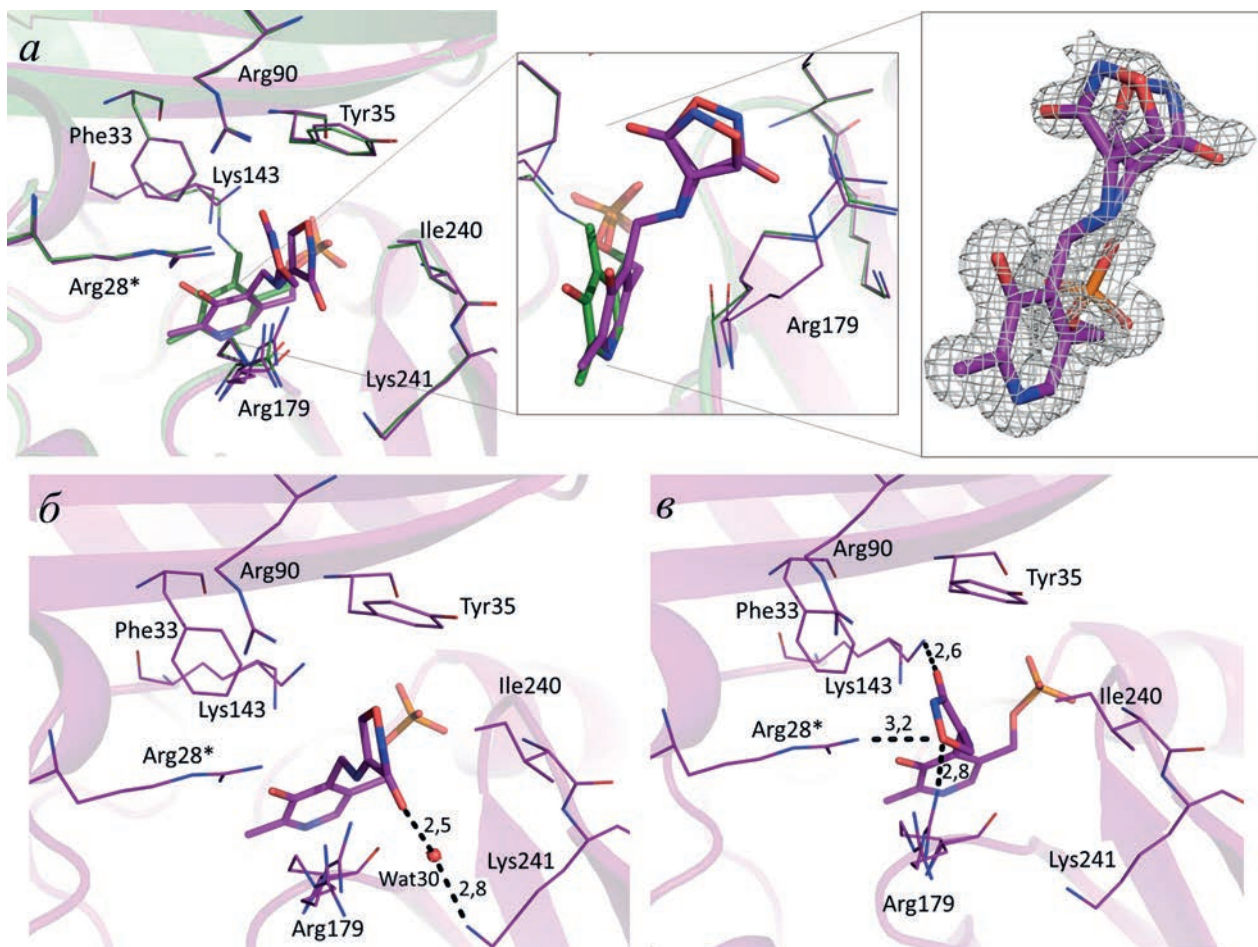
**Анализ обратимости ингибиции.** Обратимость ингибиции анализировали по регенерации PLP-формы TA\_Halhy при добавлении к продуктам взаимодействия TA\_Halhy с D-циклосерином как PLP, так и субстрата α-кетоглутарата. Для начала PLP-форму TA\_Halhy (25 мкМ) выдерживали с 25 мМ D-циклосерином в 50 мМ К-фосфатном буфере (рН 8,0) при 40 °C в течение 30 мин и далее обновляли

буфер. К продуктам взаимодействия добавляли свободный PLP в концентрации 250 мкМ, что приводило в течение часа к полной регенерации PLP-формы фермента (рис. 4, а). Спектральные изменения указывали на вытеснение аддукта PLP и D-циклосерина молекулой PLP в активном центре TA\_Halhy с образованием внутреннего альдимина с максимумом поглощения при 416 нм. При инкубировании продуктов взаимодействия TA\_Halhy с D-циклосерином с субстратом α-кетоглутаратом в концентрации 10 мМ в спектре продуктов исчезал максимум поглощения при 337 нм и одновременно увеличивалось поглощение при 416 нм, что указывало на регенерацию PLP-формы фермента (рис. 4, б). Наблюданная константа скорости регенерации PLP-формы TA\_Halhy составила  $0,32 \pm 0,02 \text{ ч}^{-1}$  (рис. 4, в). Поскольку регенерация PLP-формы трансамина субстратом α-кетоглутаратом возможна только в полуреакции с PMP-формой фермента, то наблюдаемая регенерация субстратом PLP-формы TA\_Halhy указывает на постепенное разложение продуктов взаимодействия до β-аминооксириду и PMP в активном центре фермента (схема) и дальнейшее превращение PMP в PLP в полуреакции с α-кетоглутаратом. Сходство величин наблюдаемых констант скоростей регенерации PLP-формы фермента и накопления свободного PMP в растворе указывает на общую лимитирующую стадию обоих процессов – образование PMP в активном центре фермента.

**Анализ структуры комплекса TA\_Halhy с D-циклосерином.** Кристаллы комплекса TA\_Halhy с D-циклосерином принадлежат к пространственной группе C2. Пространственная структура комплекса установлена с разрешением 1,4 Å



**Рис. 4.** Регенерация PLP-формы TA\_Halhy: *а* – спектр поглощения 25 мкМ PLP-формы TA\_Halhy до (чёрный) и после 30 мин инкубирования с D-циклосерином в концентрации 25 мМ с последующим обновлением буфера (зелёный), после добавления PLP в концентрации 250 мкМ и повторной сменой буфера через 1 ч (фиолетовый); *б* – спектр поглощения 25 мкМ PLP-формы TA\_Halhy после 30 мин инкубирования с D-циклосерином в концентрации 25 мМ с последующей сменой буфера (зелёный) и после добавления 10 мМ α-кетоглутарата через 2, 4, 6 ч (серый), и через 24 ч (фиолетовый); *в* – зависимость поглощения при 416 нм от времени (из спектров на рис. 4, *б*): экспериментальные значения показаны точками и представлены как среднее ± стандартное отклонение, аппроксимация показана красной линией



**Рис. 5.** Активный центр TA\_Halhy в комплексе с D-циклосерином: *а* – наложение структур комплекса TA\_Halhy с D-циклосерином (розовый; PDB код: 8AHU) и холоформы TA\_Halhy (зелёный; PDB код: 7P7X), электронная плотность 2Fo-Fc на уровне срезки 1,0 σ вокруг циклического кетимина; *б* и *в* – взаимодействие циклического кетимина с остатками активного центра TA\_Halhy в двух положениях (*б* и *в*) с заселённостью 0,45 и 0,55 соответственно. Молекула PLP и циклического кетимина представлены палочковой моделью, остатки активного центра представлены проволочной моделью, электронная плотность показана сетчатой поверхностью, водородные связи показаны чёрными пунктирными линиями, длины водородных связей указаны в ангстремах. \* Остатки соседней субъединицы гомодимера

и представляет собой гомодимер (PDB код: 8AHU), аналогичный гомодимеру холоформы TA\_Halhy (PDB код: 7P7X). RMSD по Ca-атомам не превышает 0,18 Å. Боковые группы большинства остатков, формирующих активный центр, при связывании D-циклосерина не поменяли своих положений, конформационные изменения наблюдались только для боковой группы Arg179, которая имеет два положения, и для боковой группы каталитического Lys143, которая в структуре комплекса TA\_Halhy с D-циклосерином не образует ковалентной связи с кофактором (рис. 5, *а*). Таким образом, связывание D-циклосерина не приводит к реорганизации белковой глобулы TA\_Halhy, наблюдаемые изменения ограничиваются конформационными изменениями боковых групп в активном центре.

Электронная плотность, обнаруженная в активном центре TA\_Halhy, соответствует двум конформациям аддукта циклического D-ци-

лосерина с молекулой PLP, при этом ковалентных связей аддукта с остатками активного центра TA\_Halhy не обнаружено (рис. 5, *а*). Карбонильные атомы кислорода двух конформаций аддукта ориентированы в противоположные стороны (рис. 5, *а*). D-Циклосерин в аддукте сохранил циклическую форму, однако его кольцо не является плоским, другими словами, образование ароматического изоксазола не произошло. Детальный анализ положения аддукта в активном центре фермента показал, что плоскость пиридинового кольца молекулы кофактора отклонилась от Lys143 в сторону Arg179 на угол около 20° относительно оси, проходящей по связи C6-N1 (рис. 5, *а*). Эти изменения подтверждают реакцию между PLP и D-циклосерином, т.к. такое смещение кофактора характерно для трансаминаз после разрыва связи кофактора с каталитическим лизином в ходе полуреакции с аминокислотой [29, 30]. Двугранный угол C3-C4-C4A(C4')-N в струк-

туре комплекса TA\_Halhy с D-циклосерином составил  $\sim 84^\circ$ , что указывает на переход C4'-атома PLP в sp<sub>3</sub>-гибридизацию, т.е. на образование циклического кетимина. Данный угол в структурах ингибиторных комплексов трансаминаз с sp<sub>2</sub>-гибридизацией C4'-атома PLP составляет 0–40° [29, 31] и, таким образом, соответствует сопряжённой π-электронной системе между двойной связью C4' = N и пиридиновым кольцом, т.е. образованию внешнего альдимина или оксима. Изменение гибридизации C4'-атома дополнительно подтверждается обесцвечиванием кристаллов PLP-формы TA\_Halhy при вымачивании в растворе D-циклосерина. В активном центре TA\_Halhy аддукт PLP и D-циклосерина координируется несколькими водородными связями, которые, однако, различаются для каждого из двух положений аддукта. Так, в одном положении атом кислорода карбонильной группы D-циклосерина координирован боковой группой Lys241 через молекулу воды Wat30 (рис. 5, б). Во втором положении боковые группы Arg28\* и Arg179 (\* – остаток, принадлежащий соседней субъединице) образуют две водородные связи с атомом Oγ, а Nε-атом боковой группы каталитического остатка лизина образует водородную связь с атомом кислорода карбонильной группы D-циклосерина (рис. 5, в).

## ОБСУЖДЕНИЕ РЕЗУЛЬТАТОВ

В результате проведённых экспериментов установлено, что D-циклосерин обратимо ингибирует трансаминазу D-аминокислот из *H. hydrossis*, при этом D-циклосерин медленно связывается с ферментом. Подтверждено образование трёх продуктов взаимодействия: оксима, циклического кетимина и PMP. Образование оксима не является необратимым ингибированием для TA\_Halhy, так как образующаяся в результате диссоциации оксима апоформа фермента полностью переходит в активную PLP-форму при добавлении PLP. Остальные соединения (циклический альдимин, раскрытый альдимин и раскрытый кетимин) также образуются в ходе взаимодействия, так как, согласно схеме, накопление PMP возможно только в результате превращения этих соединений. Изоксазол среди продуктов взаимодействия не обнаружен. Тем не менее, принимая во внимание подтверждённую недавно обратимость стадии превращения циклического кетимина в изоксазол [7], обратимое образование изоксазола из циклического кетимина не исключено и для TA\_Halhy.

Активная PLP-форма TA\_Halhy может быть восстановлена двумя путями: избыtkом кофактора PLP, в результате вытеснения аддуктов PLP и D-циклосерина из активного центра фермента, и избыtkом α-кетоглутарата, в результате образования PMP и его последующего перехода в PLP-форму в полуреакции с α-кетоглутаратом. Следует отметить, что описанная в данной работе регенерация PLP-формы TA\_Halhy добавлением PLP в концентрации 250 мкМ не имеет биологического смысла, так как физиологическая концентрация PLP в клетке не превышает 1 мкМ [32]. Однако регенерация PLP-формы TA\_Halhy избыtkом кетосубстрата α-кетоглутарата возможна и в клетке, так как разложение кетимина (как циклического, так и раскрытоого) с образованием PMP-формы фермента протекает спонтанно, а концентрация свободного α-кетоглутарата в клетке достигает 2 мМ [33].

Опираясь на схему, механизм ингибирования TA\_Halhy D-циклосерином можно представить следующим образом: в активном центре аминогруппа D-циклосерина замещает боковую группу каталитического лизина с образованием внешнего циклического альдимина, который далее обратимо превращается в циклический кетимин, а через раскрытый альдимин – в оксим или раскрытый кетимин с последующим разложением до PMP и β-аминооксириду с дальнейшим высвобождением продуктов из активного центра фермента. Значение кажущейся константы диссоциации комплекса TA\_Halhy с D-циклосерином составляет  $2,1 \pm 0,4$  мкМ и значительно ниже, чем значения используемых концентраций субстратов в трансаминазной реакции (5 мМ D-аланина и 2 мМ α-кетоглутарата) и чем значения констант Михаэлиса для данных субстратов ( $K_m$  составляет  $23 \pm 1$  и  $2,3 \pm 0,2$  мМ для D-аланина и α-кетоглутарата соответственно [18]).

Поскольку D-циклосерин взаимодействует с ферментом аналогично субстратам (D-аминокислотам), анализ положения циклического кетимина в активном центре TA\_Halhy позволил уточнить остатки, способные связывать субстрат в активном центре фермента. В связывании D-циклосерина в активном центре TA\_Halhy участвуют боковые группы четырёх остатков: Arg28\*, Lys143, Arg179 и Lys241 (\* – остаток, принадлежащий соседней субъединице). Для сравнения, в активном центре канонической трансаминазы из *Bacillus* sp. D-циклосерин координирован боковыми группами остатков Tug31, Arg98\*, His100\* канонической триады, образующей сайт связывания α-карбоксильной группы субстратов [1].

Полученный комплекс TA\_Halhy с D-циклосерином указывает на неканонический тип связывания  $\alpha$ -карбоксильной группы в активном центре TA\_Halhy с участием удалённых в пространстве остатков Arg28\*, Arg179 и Lys241. Участие каталитического Lys143 в связывании D-циклосерина является результатом незавершённости полуреакции и артефактом кристаллизации.

Таким образом, несмотря на отличную от канонической организацию активного центра, трансаминаза D-аминокислот из *H. hydrossis* ингибитируется D-циклосерином. Связывание D-циклосерина в активном центре фермента отличается от описанных ранее вариантов связывания субстратов в активном центре трансаминаз. D-Циклосерин является эффективным, но обратимым ингибитором трансаминазы из *H. hydrossis*. Обобщая, стоит отметить, что наблюдаемая для разнообразных PLP-зависимых ферментов обратимость ингибирования D-циклосерином и восстановление их активности избыtkом кофактора или субстрата снижает эффективность применения D-циклосерина как антибактериального препарата, однако не отменяет использование D-циклосерина как регулятора активности ферментов в биохимических экспериментах и при разработке биотехнологических процессов.

**Вклад авторов.** А.К. Бакунова – планирование экспериментов; Е.Ю. Безсуднова и В.О. Попов – концепция и руководство работой; А.К. Бакунова, А.Ю. Николаева, И.О. Матюта, К.М. Бойко – проведение экспериментов; А.К. Бакунова, И.О. Матюта, К.М. Бойко, Е.Ю. Безсуднова – обсуждение результатов исследования; А.К. Бакунова, Е.Ю. Безсуднова – написание текста; А.К. Бакунова, К.М. Бойко, А.Ю. Николаева, Е.Ю. Безсуднова, В.О. Попов – редактирование текста статьи.

**Финансирование.** Работа выполнена при поддержке Российского научного фонда (грант № 19-14-00164) в части проведения кинетических экспериментов и кристаллизации комплекса, решения и уточнения структуры. Работа выполнена при поддержке Министерства науки и высшего образования Российской Федерации в части проведения спектральных исследований. Рентгеноструктурный эксперимент выполнен при поддержке Федерального космического агентства (проект КЭ (ЦР) «Кристаллизатор»).

**Конфликт интересов.** Авторы заявляют об отсутствии конфликта интересов.

**Соблюдение этических норм.** Настоящая статья не содержит описания выполненных авторами исследований с участием людей или использованием животных в качестве объектов.

## СПИСОК ЛИТЕРАТУРЫ

1. Peisach, D., Chipman, D. M., Van Ophem, P. W., Manning, J. M., and Ringe, D. (1998) D-Cycloserine inactivation of D-amino acid aminotransferase leads to a stable noncovalent protein complex with an aromatic cycloserine-PLP derivative, *J. Am. Chem. Soc.*, **120**, 2268-2274, doi: 10.1021/ja973353f.
2. Fenn, T. D., Stamper, G. F., Morollo, A. A., and Ringe, D. (2003) A side reaction of alanine racemase: transamination of cycloserine, *Biochemistry*, **42**, 5775-5783, doi: 10.1021/bi027022d.
3. Amorim Franco, T. M., Favrot, L., Vergnolle, O., and Blanchard, J. S. (2017) Mechanism-based inhibition of the *Mycobacterium tuberculosis* branched-chain aminotransferase by d- and l-cycloserine, *ACS Chem. Biol.*, **12**, 1235-1244, doi: 10.1021/acscchembio.7b00142.
4. Dindo, M., Grottelli, S., Annunziato, G., Giardina, G., Pieroni, M., Pampalone, G., Faccini, A., Cutruzzolà, F., Laurino, P., Costantino, G., and Cellini, B. (2019) Cycloserine enantiomers are reversible inhibitors of human alanine:glyoxylate aminotransferase: implications for Primary Hyperoxaluria type 1, *Biochem. J.*, **476**, 3751-3768, doi: 10.1042/BCJ20190507.
5. Malashkevich, V. N., Strop, P., Keller, J. W., Jansonius, J. N., and Toney, M. D. (1999) Crystal structures of dialkylglycine decarboxylase inhibitor complexes, *J. Mol. Biol.*, **294**, 193-200, doi: 10.1006/jmbi.1999.3254.
6. Caminero, J. A., Sotgiu, G., Zumla, A., and Migliori, G. B. (2010) Best drug treatment for multidrug-resistant and extensively drug-resistant tuberculosis, *Lancet. Infect. Dis.*, **10**, 621-629, doi: 10.1016/S1473-3099(10)70139-0.
7. De Chiara, C., Homšák, M., Prosser, G. A., Douglas, H. L., Garza-Garcia, A., Kelly, G., Purkiss, A. G., Tate, E. W., and de Carvalho, L. P. S. (2020) D-Cycloserine destruction by alanine racemase and the limit of irreversible inhibition, *Nat. Chem. Biol.*, **16**, 686-694, doi: 10.1038/s41589-020-0498-9.
8. Priyadarshi, A., Lee, E. H., Sung, M. W., Nam, K. H., Lee, W. H., Kim, E. E., and Hwang, K. Y. (2009) Structural insights into the alanine racemase from *Enterococcus faecalis*, *Biochim. Biophys. Acta*, **1794**, 1030-1040, doi: 10.1016/j.bbapap.2009.03.006.
9. Noda, M., Matoba, Y., Kumagai, T., and Sugiyama, M. (2004) Structural evidence that ala-

- nine racemase from a D-cycloserine-producing microorganism exhibits resistance to its own product, *J. Biol. Chem.*, **279**, 46153-46161, doi: 10.1074/jbc.M404605200.
10. Wu, D., Hu, T., Zhang, L., Chen, J., Du, J., Ding, J., Jiang, H., and Shen, X. (2008) Residues Asp164 and Glu165 at the substrate entryway function potently in substrate orientation of alanine racemase from *E. coli*: enzymatic characterization with crystal structure analysis, *Protein Sci.*, **17**, 1066-1076, doi: 10.1110/ps.083495908.
  11. Tassoni, R., van der Aart, L. T., Ubbink, M., van Wezel, G. P., and Pannu, N. S. (2017) Structural and functional characterization of the alanine racemase from *Streptomyces coelicolor* A3(2), *Biochem. Biophys. Res. Commun.*, **483**, 122-128, doi: 10.1016/j.bbrc.2016.12.183.
  12. Duff, S. M. G., Rydel, T. J., McClerren, A. L., Zhang, W., Li, J. Y., Sturman, E. J., Halls, C., Chen, S., Zeng, J., Peng, J., Kretzler, C. N., and Evdokimov, A. (2012) The enzymology of alanine aminotransferase (AlaAT) isoforms from *Hordeum vulgare* and other organisms, and the HvAlaAT crystal structure, *Arch. Biochem. Biophys.*, **528**, 90-101, doi: 10.1016/j.abb.2012.06.006.
  13. Bharath, S. R., Bisht, S., Harijan, R. K., Savithri, H. S., and Murthy, M. R. N. (2012) Structural and mutational studies on substrate specificity and catalysis of *Salmonella typhimurium* D-cysteine desulfhydrase, *PLoS One*, **7**, e36267, doi: 10.1371/journal.pone.0036267.
  14. Braunstein, A. E. (1973) Amino group transfer, *The enzymes*, (Boyer, P., ed.) Academic Press, N.Y., pp. 379-481, doi: 10.1016/S1874-6047(08)60122-5.
  15. Eliot, A. C., and Kirsch, J. F. (2004) Pyridoxal phosphate enzymes: mechanistic, structural, and evolutionary considerations, *Annu. Rev. Biochem.*, **73**, 383-415, doi: 10.1146/annurev.biochem.73.011303.074021.
  16. Toney, M. D. (2011) Controlling reaction specificity in pyridoxal phosphate enzymes, *Biochim. Biophys. Acta.*, **1814**, 1407-1418, doi: 10.1016/j.bbapap.2011.05.019.
  17. Soper, T. S., and Manning, J. M. (1981) Different modes of action of inhibitors of bacterial D-amino acid transaminase. A target enzyme for the design of new antibacterial agents, *J. Biol. Chem.*, **256**, 4263-4268, doi: 10.1016/s0021-9258(19)69428-7.
  18. Bakunova, A. K., Nikolaeva, A. Y., Rakitina, T. V., Isaikina, T. Y., Khrenova, M. G., Boyko, K. M., Popov, V. O., and Bezsdanova, E. Y. (2021) The uncommon active site of D-amino acid transaminase from *Haliscomenobacter hydrossis*: biochemical and structural insights into the new enzyme, *Molecules*, **26**, 5053, doi: 10.3390/molecules26165053.
  19. Morrison, J. F., and Walsh, C. T. (1998) The behavior and significance of slow-binding enzyme inhibitors, *Adv. Enzymol. Relat. Areas Mol. Biol.*, **61**, 201-301, doi: 10.1002/9780470123072.ch5.
  20. Winter, G., Waterman, D. G., Parkhurst, J. M., Brewster, A. S., Gildea, R. J., Gerstel, M., Fuentes-Montero, L., Vollmar, M., Michels-Clark, T., Young, I. D., Sauter, N. K., and Evans, G. (2018) DIALS: implementation and evaluation of a new integration package, *Acta Crystallogr. Sect. D Struct. Biol.*, **74**, 85-97, doi: 10.1107/S2059798317017235.
  21. Collaborative Computational Project, N. 4 (1994) The CCP4 suite: programs for protein crystallography, *Acta Crystallogr. Sect. D Biol. Crystallogr.*, **50**, 760-763, doi: 10.1107/S0907444994003112.
  22. Vagin, A., and Teplyakov, A. (1997) MOLREP: an automated program for molecular replacement, *J. Appl. Crystallogr.*, **30**, 1022-1025, doi: 10.1107/S0021889897006766.
  23. Murshudov, G. N., Skubák, P., Lebedev, A. A., Pannu, N. S., Steiner, R. A., Nicholls, R. A., Winn, M. D., Long, F., and Vagin, A. A. (2011) REFMAC 5 for the refinement of macromolecular crystal structures, *Acta Crystallogr. Sect. D Biol. Crystallogr.*, **67**, 355-367, doi: 10.1107/S0907444911001314.
  24. Emsley, P., and Cowtan, K. (2004) Coot: model-building tools for molecular graphics, *Acta Crystallogr. Sect. D Biol. Crystallogr.*, **60**, 2126-2132, doi: 10.1107/S0907444904019158.
  25. Krissinel, E., and Henrick, K. (2004) Secondary-structure matching (SSM), a new tool for fast protein structure alignment in three dimensions, *Acta Crystallogr. Sect. D Biol. Crystallogr.*, **60**, 2256-2268, doi: 10.1107/S0907444904026460.
  26. Beeler, T., and Churchich, J. E. (1976) Reactivity of the phosphopyridoxal groups of cystathionase, *J. Biol. Chem.*, **251**, 5267-5271, doi: 10.1016/S0021-9258(17)33156-3.
  27. Honikel, K. O., and Madsen, N. B. (1972) Comparison of the absorbance spectra and fluorescence behavior of phosphorylase b with that of model pyridoxal phosphate derivatives in various solvents, *J. Biol. Chem.*, **247**, 1057-1064, doi: 10.1016/S0021-9258(19)45615-9.
  28. Delbaere, L. T. J., Kallen, J., Markovic-Housley, Z., Khomutov, A. R., Khomutov, R. M., Karpeisky, M. Y., and Jansonius, J. N. (1989) Complexes of aspartate aminotransferase with hydroxylamine derivatives: spectral studies in solution and in the crystalline state, *Biochimie*, **71**, 449-459, doi: 10.1016/0300-9084(89)90175-2.
  29. Okada, K., Hirotsu, K., Hayashi, H., and Kagamiyama, H. (2001) Structures of *Escherichia coli* branched-chain amino acid aminotransferase and its complexes with 4-methylvalerate and 2-methylleucine: induced fit and substrate recognition of the enzyme, *Biochemistry*, **40**, 7453-7463, doi: 10.1021/bi0103841.
  30. Peisach, D., Chipman, D. M., Van Ophem, P. W., Manning, J. M., and Ringe, D. (1998) Crystallographic study of steps along the reaction pathway of D-amino

- acid aminotransferase, *Biochemistry*, **37**, 4958-4967, doi: 10.1021/bi972884d.
31. Marković-Housley, Z., Schirmer, T., Hohenester, E., Khomutov, A. R., Khomutov, R. M., Karpeisky, M. Y., Sandmeier, E., Christen, P., and Jansonius, J. N. (1996) Crystal structures and solution studies of oxime adducts of mitochondrial aspartate aminotransferase, *Eur. J. Biochem.*, **236**, 1025-1032, doi: 10.1111/j.1432-1033.1996.01025.x.
32. Di Salvo, M. L., Contestabile, R., and Safo, M. K. (2011) Vitamin B(6) salvage enzymes: mechanism, structure and regulation, *Biochim. Biophys. Acta*, **1814**, 1597-1608, doi: 10.1016/j.bbapap.2010.12.006.
33. Thirstrup, K., Christensen, S., Møller, H. A., Ritzén, A., Bergström, A. L., Sager, T. N., and Jensen, H. S. (2011) Endogenous 2-oxoglutarate levels impact potencies of competitive HIF prolyl hydroxylase inhibitors, *Pharmacol. Res.*, **64**, 268-273, doi: 10.1016/j.phrs.2011.03.017.

## MECHANISM OF D-CYCLOSERINE INHIBITION OF D-AMINO ACID TRANSAMINASE FROM *Haliscomenobacter hydrossis*

**A. K. Bakunova<sup>1\*</sup>, I. O. Matyuta<sup>1</sup>, A. Yu. Nikolaeva<sup>1,2</sup>, K. M. Boyko<sup>1</sup>,  
V. O. Popov<sup>1,3</sup>, and E. Yu. Bezsdudnova<sup>1\*</sup>**

<sup>1</sup> *Bach Institute of Biochemistry, Research Center of Biotechnology of the Russian Academy of Sciences,  
119071 Moscow, Russia; e-mail: a.bakunova@fbras.ru, eubez@inbi.ras.ru*

<sup>2</sup> *Kurchatov Complex of NBICS-Technologies, National Research Centre “Kurchatov Institute”,  
123182 Moscow, Russia*

<sup>3</sup> *Faculty of Biology, Lomonosov Moscow State University, 119991 Moscow, Russia*

D-cycloserine inhibits pyridoxal-5'-phosphate (PLP)-dependent enzymes. The inhibition efficiency depends on the organization of their active center and the mechanism of the catalyzed reaction. D-cycloserine interacts with the PLP form of enzyme similarly to substrate amino donor, and the interaction is predominantly reversible. Inhibition products include hydroxyisoxazole-pyridoxamine-5'-phosphate, oxime between PLP and  $\beta$ -aminoxy-D-alanine, ketimine between pyridoxamine-5'-phosphate and cyclic or open forms of D-cycloserine, pyridoxamine-5'-phosphate, etc. For some enzymes the formation of a stable aromatic product – hydroxyisoxazole can lead to irreversible D-cycloserine inhibition at certain pH value. The aim of this work was to study the mechanism of D-cycloserine inhibition of PLP-dependent D-amino acid transaminase from the bacterium *Haliscomenobacter hydrossis*. Spectral methods revealed several products of the interaction of D-cycloserine with PLP in the active site of transaminase: oxime between PLP and  $\beta$ -aminoxy-D-alanine, ketimine between pyridoxamine-5'-phosphate and cyclic or open forms of D-cycloserine, pyridoxamine-5'-phosphate. The formation of hydroxyisoxazole-pyridoxamine-5'-phosphate was not observed. The 3D structure of the complex of transaminase with D-cycloserine was obtained by X-ray diffraction analysis. In the active site of transaminase, a ketimine adduct between pyridoxamine-5'-phosphate and D-cycloserine in the cyclic form was found; the ketimine occupied two positions and was coordinated via hydrogen bonds with different active site residues. Using kinetic and spectral methods we have shown that D-cycloserine inhibition is reversible, and the activity of transaminase from *H. hydrossis* can be restored by adding an excess of keto substrate as well as by adding an excess of cofactor. The results obtained confirm the reversibility of D-cycloserine inhibition and the conversion of various adducts of D-cycloserine and PLP into each other.

**Keywords:** D-amino acid transaminase, D-cycloserine, reversible inhibition, fluorescence, X-ray diffraction analysis